

合流部付加車線延伸時の本線車両の挙動解析*

Examination of the Influence of Additional Line Length to Traffic Flow at the Merging Part of Expressway *

飯田克弘**・巽 義知***・隅本雄一***
By Katsuhiro IIDA **, Yoshitomo TATSUMI ***and Yuichi SUMIMOTO ***

1. はじめに

(1) 研究の背景

高速道路合流部における渋滞は、渋滞発生箇所に占める割合が高く¹⁾、合流部における渋滞対策は緊急の課題となっている。これに対し、現場では付加車線延伸という対策がとられた例がいくつもあり、定性的ではあるが渋滞軽減効果も報告されている²⁾。しかし、付加車線延伸とそれによる渋滞対策としての効果との定量的な関係は未だ十分に明らかにされていない。

上記の関係を把握するためには、まず合流部における交通挙動を把握し、その上で対策前後の交通挙動の変化を把握する必要がある。この交通挙動を計測する手法には定点ビデオカメラによる観測³⁾や試験車両による実走実験⁴⁾という手法があるが、観測結果がその時の周辺状況により大きく変化すること、付加車線長等の道路構造を変更することが困難であるといった問題がある。

これに対し筆者らは、Virtual Reality 技術の適用を試みた。この手法は、ビデオ解析システムとドライビング・シミュレータ（以下 DS）を用いた室内実験によって構成される。まずビデオ解析システムは、3DCG で作成された対象区間の道路モデルと、現地で撮影されたビデオ映像を用いて、3 次元座標系における移動体の挙動を計測するものである⁵⁾。また DS は、3DCG で作成した仮想道路モデル上をドライバーが擬似的に運転できるシステムであるが、上述したビデオ解析による車両の挙動データを用いることにより、実際の交通流を 3DCG 上に再現することができる。筆者らはこの手法を用い、付加車線長の違いによる合流車両の挙動変化を分析した。その結果、付加車線を延伸した場合、特に本線の交通密度が高い場面において顕著に合流車両の挙動の自由度が増すことが明らかとなった⁶⁾。これは合流車両の視点で見ると付加車線延伸は渋滞対策の観点か

ら有効であることを示していると捉えることができる。

ただし、この研究では、付加車線延伸時に、本線車両より速い速度で合流する車両が多く確認されている。このような車両が合流するギャップの後方車両（以下、合流ギャップ後方車両）の観点から考えると、加速して前方車両との車間を詰めている時に合流車両と遭遇し、急減速などの挙動を余儀なくされる可能性は否定できない。また、合流ギャップ後方車両に車両が追従している場合、急減速の影響が上流に伝播することも考えられる。しかし、これらの影響については、先行研究の範囲では確認されていない。つまり付加車線延伸時の本線車両挙動を解析することが課題となっている。

(2) 研究の目的と構成

以上を背景として、本研究では先行研究と同様、Virtual Reality 技術の適用により、付加車線延伸時の本線車両の挙動を解析することを目的とする。なお、対象区間は、先行研究⁶⁾と同様に東名高速道路下り線三好 IC 合流部付近とする（図-1）。

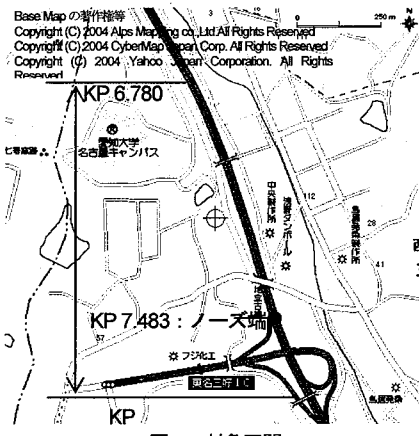


図-1 対象区間

この検討を行うためには、まず室内実験データが現道での走行データを分析に適用可能な水準で再現しているかどうか（以下、現況再現性）を確認する必要がある。筆者らは、これまでに高速道路上の追従車両の挙動につ

*Keywords : 道路計画、合流部

**正会員、博士(工)、大阪大学大学院工学研究科

地球総合工学専攻

〒565-0871 吹田市山田丘 2-1

TEL: 06-6879-7611, FAX: 06-6879-7612

***学生員、大阪大学大学院工学研究科地球総合工学専攻

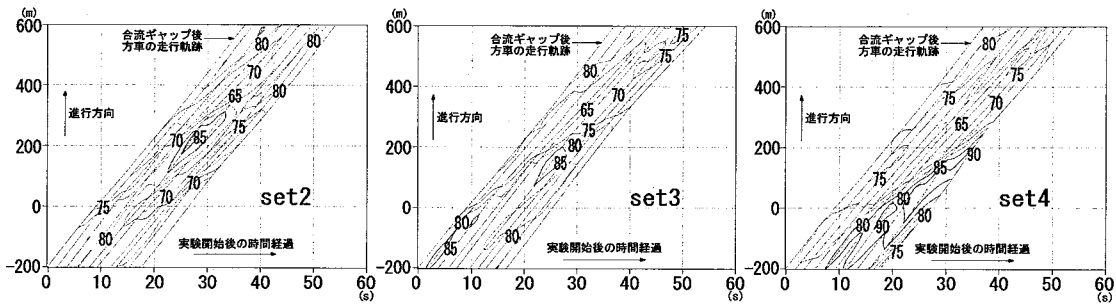


図-7 速度コンター図（場面a）

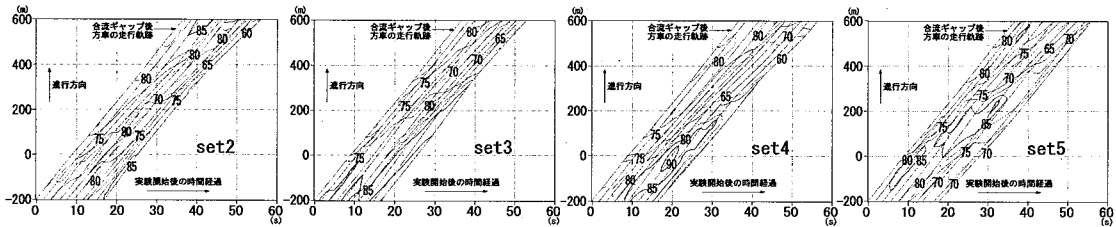


図-8 速度コンター図（場面b）

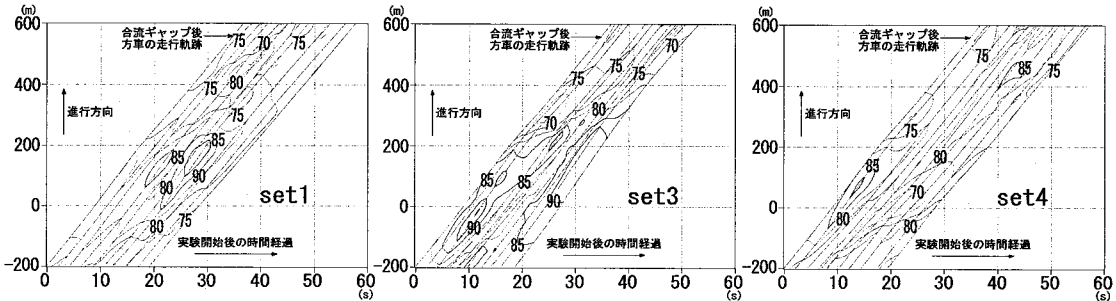


図-9 速度コンター図（場面c）

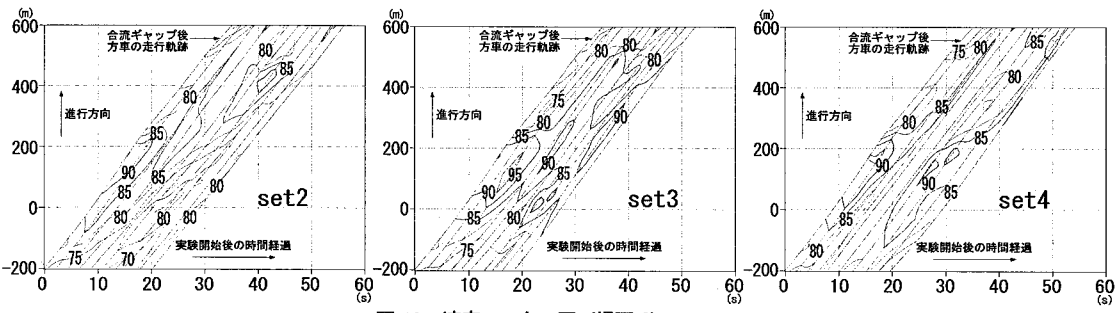


図-10 速度コンター図（場面d）

aでは、合流ギャップ後方車両の影響と見られる減速波はset2, set3, set4で発生していた（図-7）。また、場面bでは、合流ギャップ後方車両の影響と見られる減速波はset2, set3, set4, set5で発生していた（図-8）。これらの特徴としては、下流側に流れながら增幅伝播する傾向にあることが挙げられる。

具体的には、場面aでは、実験開始後約5~7秒後に7.45~7.4kp付近で合流ギャップ後方車が80km/hから75km/hまで速度低下したことを起点に、set2において車両9が6.9kp付近で60km/hまで、set3において車

両4が7.15kp付近で65km/hまで、set4において車両5が7.1kp付近で65km/hまで減速を強いられる。

また、場面bでは、実験開始後約8~9秒後に7.4~7.35kp付近で、合流ギャップ後方車が80km/hから75km/hまで速度低下したことを起点に、set2において車両9が6.9kp付近で60km/hまで、set3において車両9が6.8kp付近で65km/hまで、set4において車両9が7.0kp付近で60km/hまで、set5において車両7が6.9kp付近で65km/hまで減速を強いられる。

場面a, bでは、減速波は下流に流れしており、実験範

